

---

# Impacto da otimização de funções hash no desempenho do algoritmo de assinaturas digitais pós-quântica CRYSTALS-Dilithium

Rodrigo Duarte de Meneses

Marco Aurélio Amaral Henriques

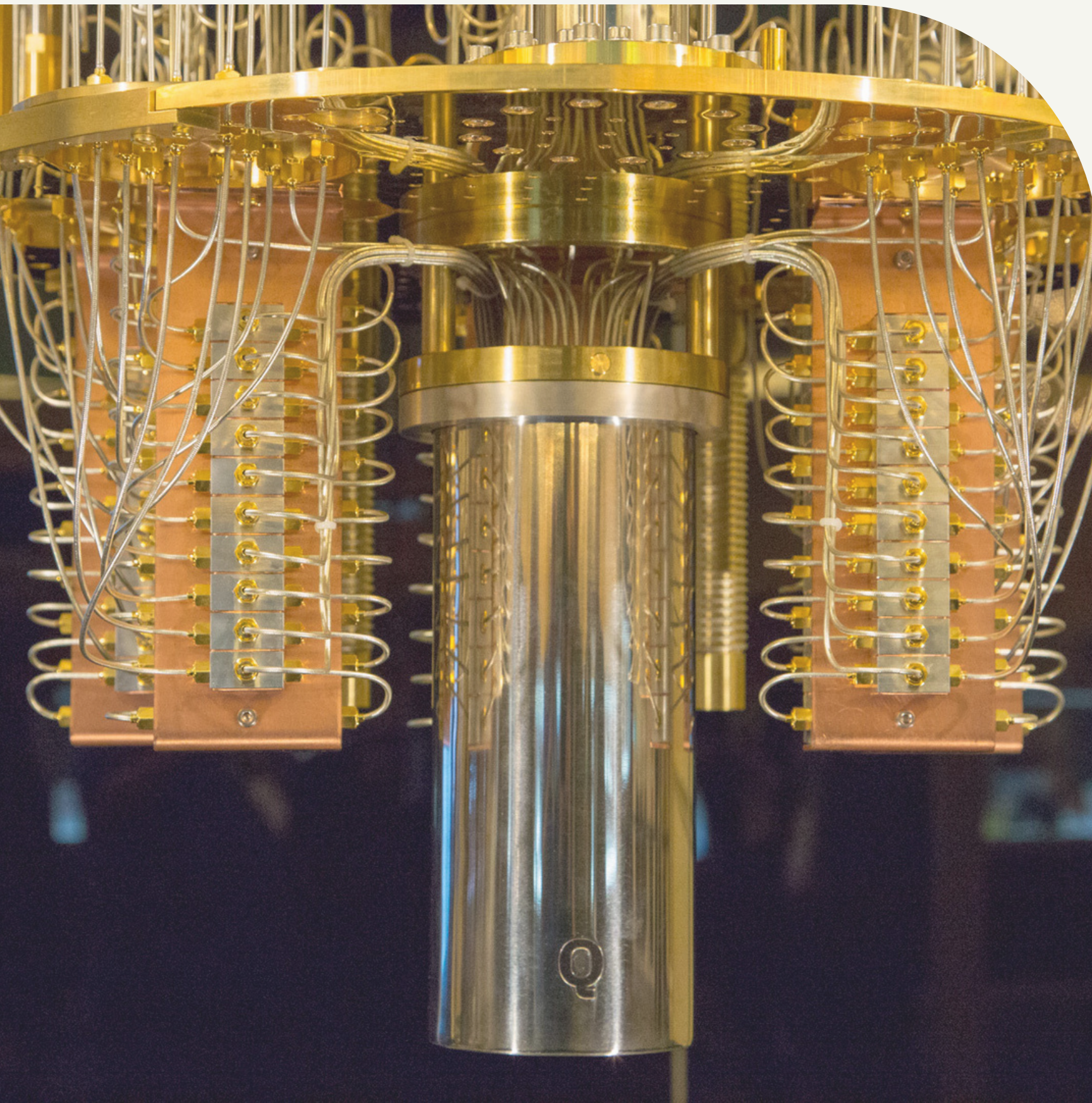
SETEMBRO 2023

# Introdução

— PARTE 1

SBSEG WTICG 2023

---



## O que é a criptografia pós-quântica?

- Computação quântica põe em risco a segurança dos esquemas de criptografia clássica;
- **Criptografia pós-quântica:** esquemas criptográficos resistentes aos ataques de um computador quântico;
- Processo de padronização do NIST para algoritmos pós-quânticos.

# Assinaturas digitais



- Buscam promover a verificação da autenticidade de mensagens e/ou documentos digitais.

- Consistem em 3 etapas:

1. Geração de chaves (**Gen**);
2. Procedimento de assinatura (**Sign**);
3. Verificação (**Verify**)

# CRYSTALS–Dilithium

(CRYPTOGRAPHIC SUITE FOR ALGEBRAIC LATTICES)

Um dos menores tamanhos de chave e assinaturas comparado aos outros finalistas do processo de padronização do NIST.

Segurança dependente do problema MLWE e independente de implementação de aritmética de ponto flutuante.

Arquitetura modular, a variação da segurança pode ser feita alterando as dimensões das matrizes e vetores de polinômios.

SETEMBRO 2023

# Mecanismo de funcionamento

— PARTE 2

SEBSEG WTICG 2023

---

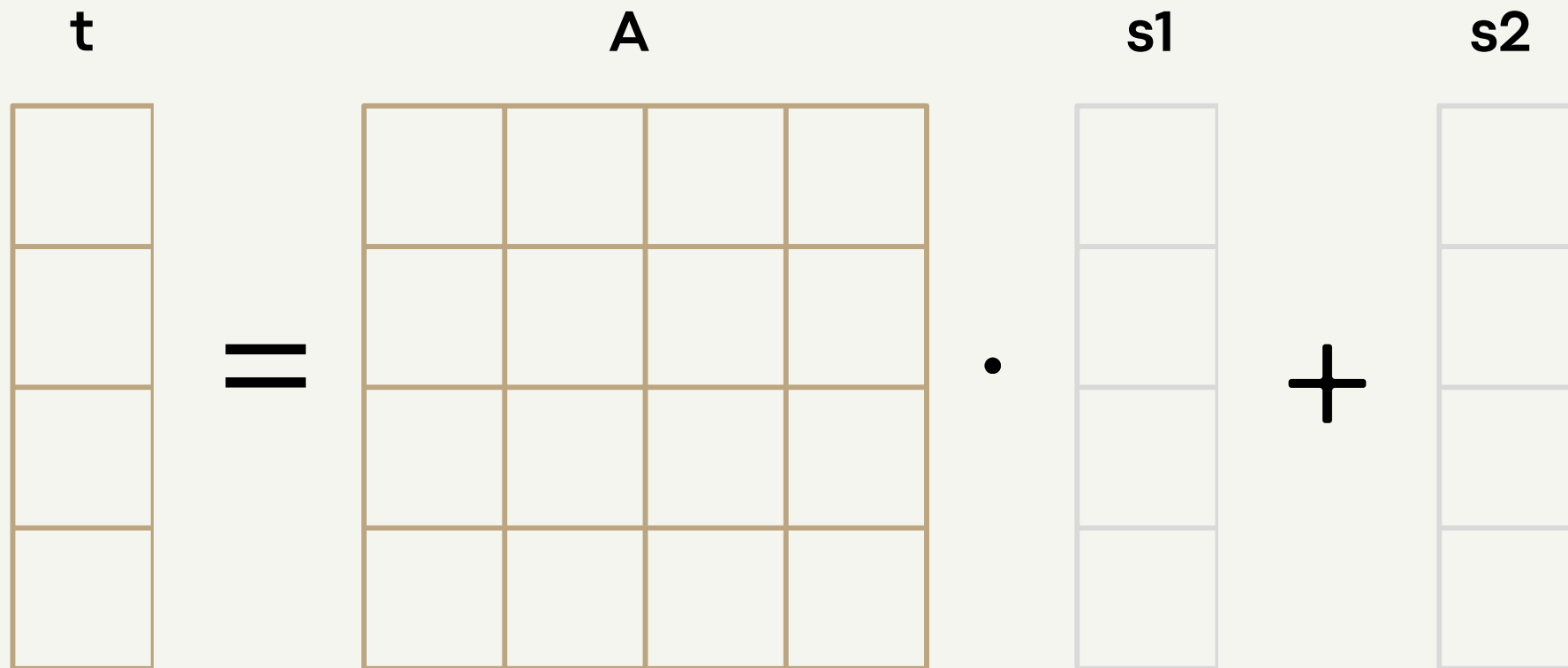
• **Problema baseado em reticulados**

- Vetor de polinômios **t**;
- Matriz de polinômios **A**;
- Vetores secretos de polinômios, **s1** e **s2**.

Chave pública = (**A**, **t**)



Chave privada = (**s1**, **s2**)



- **Problema baseado em reticulados**

- Vetor de polinômios  $\mathbf{t}$ ;
- Matriz de polinômios  $\mathbf{A}$ ;
- Vetores secretos de polinômios,  $\mathbf{s1}$  e  $\mathbf{s2}$ .

Chave pública =  $(\mathbf{A}, \mathbf{t})$



Chave privada =  $(\mathbf{s1}, \mathbf{s2})$



$$\begin{array}{c} \mathbf{t} \\ \hline \square \\ \hline \square \\ \hline \square \\ \hline \square \end{array} = \begin{array}{c} \mathbf{A} \\ \hline \square & \square & \square & \square \\ \hline \square & \square & \square & \square \\ \hline \square & \square & \square & \square \\ \hline \square & \square & \square & \square \end{array} \cdot \begin{array}{c} \mathbf{s1} \\ \hline \square \\ \hline \square \\ \hline \square \\ \hline \square \end{array} + \begin{array}{c} \mathbf{s2} \\ \hline \square \\ \hline \square \\ \hline \square \\ \hline \square \end{array}$$

- A dificuldade consiste em distinguir um vetor aleatório  $\mathbf{t}$  de um vetor  $\mathbf{t} = \mathbf{A} \cdot \mathbf{s1} + \mathbf{s2}$ .
- Cada entrada dos vetores ou matriz é um polinômio de 256 coeficientes.
- Esse problema é denominado MLWE (Module Learning With Errors).

## Problema

- O Dilithium exige o armazenamento de vetores e matrizes grandes.



## Problema

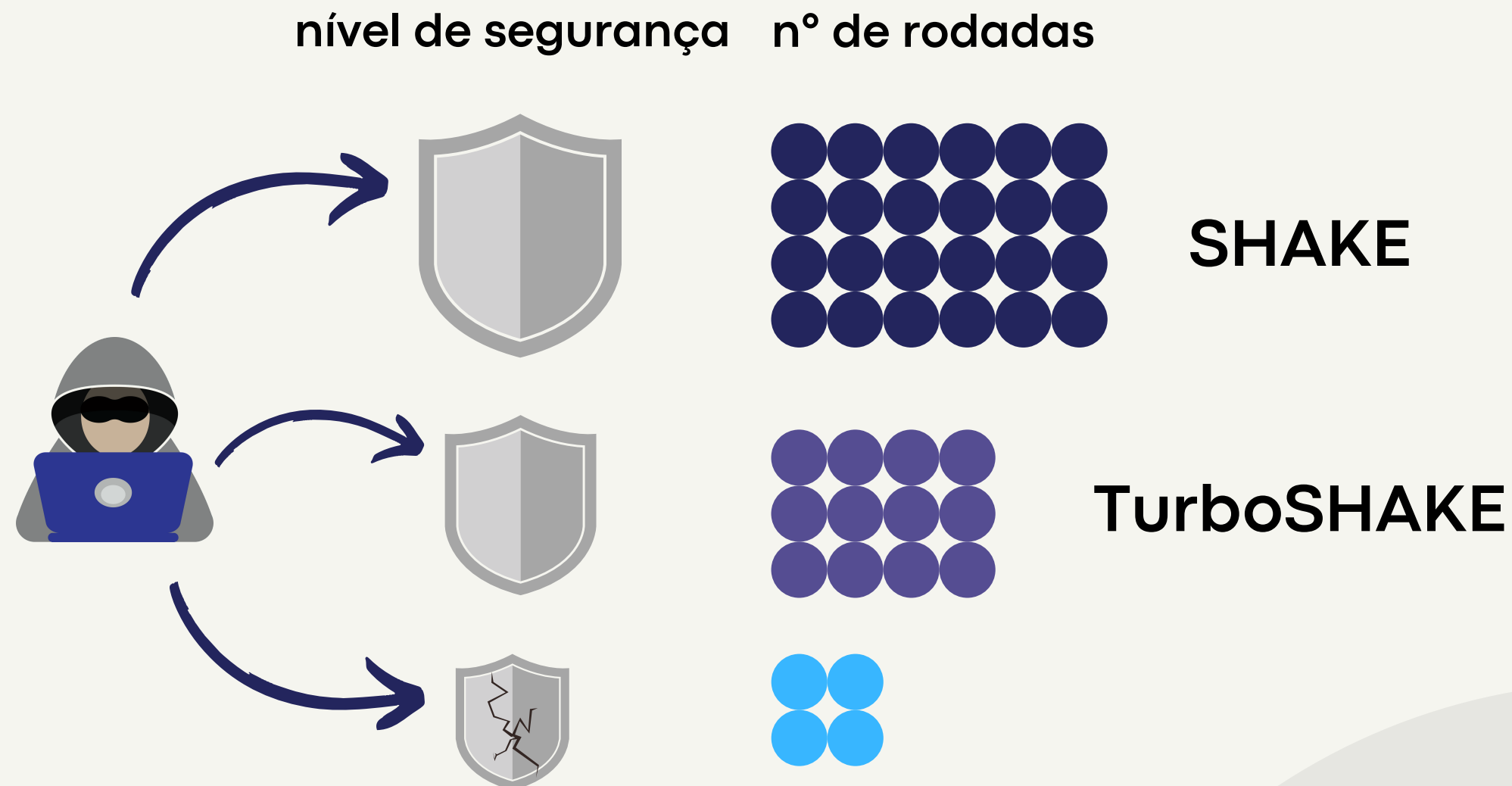
- O Dilithium exige o armazenamento de vetores e matrizes grandes.



## Solução

- Geramos os parâmetros sob demanda a partir de uma seed  $\zeta$ .
- Isso é feito a partir de funções hash de saída extensível (XOFs).
- O Dilithium utiliza funções padronizadas pelo NIST, SHAKE128 e SHAKE256.
- A utilização dessas funções corresponde a maior parte dos custos computacionais associados ao uso do Dilithium.

# SHAKE vs TurboSHAKE



- SHAKE utiliza 24 rodadas para obter sua segurança.
- Redução do número de rodadas até um certo limite não compromete a segurança do algoritmo para nenhum dos ataques conhecidos.
- **TurboSHAKE:** versão de rodadas reduzidas do SHAKE (12 rodadas).

# Métodos e resultados

— PARTE 3

# Materiais utilizados

- Utilizou-se um *laptop* com processador Intel Core i5-8265U CPU 1.6 GHz, SO Ubuntu 20.04.6 LTS e memória RAM de 8GB.

# Materiais utilizados

- Utilizou-se um *laptop* com processador Intel Core i5-8265U CPU 1.6 GHz, SO Ubuntu 20.04.6 LTS e memória RAM de 8GB.

# Método de análise

## ABORDAGEM EXPERIMENTAL UTILIZADA

Medimos a média e mediana de ciclos de processador para cada uma das funções principais para as versões v.0 (SHAKE) e v.1 (TurboSHAKE).

A utilização de *rejection sampling* implica na presença de alguns *outliers* para a função Sign.

## Materiais utilizados

- Utilizou-se um *laptop* com processador Intel Core i5-8265U CPU 1.6 GHz, SO Ubuntu 20.04.6 LTS e memória RAM de 8GB.

## Procedimento experimental

- Medições para 1500 iterações do algoritmo para cada nível de segurança (2, 3 e 5) descritos na documentação do Dilithium.
- Em cada iteração é feita a geração de chaves, assinatura e verificação para uma mensagem aleatória de 59 bytes.

## Método de análise

### ABORDAGEM EXPERIMENTAL UTILIZADA

Medimos a média e mediana de ciclos de processador para cada uma das funções principais para as versões v.0 (SHAKE) e v.1 (TurboSHAKE).

A utilização de *rejection sampling* implica na presença de alguns *outliers* para a função Sign.

# Utilização de memória no CRYSTALS-Dilithium

- Comparando as versões v.0 (SHAKE) e v.1 (TurboSHAKE), foi possível atestar que não houve aumento na utilização de memória RAM do algoritmo em nenhum dos níveis de segurança.

**Tabela 1. Uso máximo de RAM (bytes) para níveis de segurança 2, 3 e 5**

Pico de RAM para CRYSTALS-Dilithium v.0 / v.1			
Nível de segurança	KeyGen	Sign	Verify
Dilithium 2	42.488 B	59.648 B	43.936 B
Dilithium 3	67.128 B	90.272 B	68.344 B
Dilithium 5	105.496 B	134.960 B	106.448 B

# Utilização de memória no CRYSTALS-Dilithium

- Comparando as versões v.0 (SHAKE) e v.1 (TurboSHAKE), foi possível atestar que não houve aumento na utilização de memória RAM do algoritmo em nenhum dos níveis de segurança.

**Tabela 1. Uso máximo de RAM (bytes) para níveis de segurança 2, 3 e 5**

Pico de RAM para CRYSTALS-Dilithium v.0 / v.1			
Nível de segurança	KeyGen	Sign	Verify
Dilithium 2	42.488 B	59.648 B	43.936 B
Dilithium 3	67.128 B	90.272 B	68.344 B
Dilithium 5	105.496 B	134.960 B	106.448 B

# Otimizações de processamento - Dilithium

**Tabela 2. Média de ciclos de CPU para cada função do Dilithium**

Média de ciclos de CPU para o CRYSTALS-Dilithium			
Nível de segurança	Função	v.0	v.1 (variação %)
Dilithium 2	KeyGen	418.522	325.304 (-22.3%)
	Sign	1.844.839	1.674.893 (-9.2%)
	Verify	447.904	362.306 (-19.1%)
Dilithium 3	KeyGen		
	Sign		
	Verify		
Dilithium 5	KeyGen		
	Sign		
	Verify		

# Otimizações de processamento - Dilithium

**Tabela 2. Média de ciclos de CPU para cada função do Dilithium**

Média de ciclos de CPU para o CRYSTALS-Dilithium			
Nível de segurança	Função	v.0	v.1 (variação %)
Dilithium 2	KeyGen	418.522	325.304 (-22.3%)
	Sign	1.844.839	1.674.893 (-9.2%)
	Verify	447.904	362.306 (-19.1%)
Dilithium 3	KeyGen		
	Sign		
	Verify		
Dilithium 5	KeyGen		
	Sign		
	Verify		

# Otimizações de processamento - Dilithium

Tabela 2. Média de ciclos de CPU para cada função do Dilithium

Média de ciclos de CPU para o CRYSTALS-Dilithium			
Nível de segurança	Função	v.0	v.1 (variação %)
Dilithium 2	KeyGen	418.522	325.304 (-22.3%)
	Sign	1.844.839	1.674.893 (-9.2%)
	Verify	447.904	362.306 (-19.1%)
Dilithium 3	KeyGen	740.820	566.839 (-23.4%)
	Sign	2.781.223	2.525.570 (-9.2%)
	Verify	705.726	556.641 (-21.1%)
Dilithium 5	KeyGen	1.144.005	842.012 (-26.4%)
	Sign	3.523.184	3.255.138 (-7.6%)
	Verify	1.173.812	899.562 (-23.3%)

# Otimizações de processamento - Dilithium

**Tabela 2. Média de ciclos de CPU para cada função do Dilithium**

Média de ciclos de CPU para o CRYSTALS-Dilithium			
Nível de segurança	Função	v.0	v.1 (variação %)
Dilithium 2	KeyGen	418.522	325.304 (-22.3%)
	Sign	1.844.839	1.674.893 (-9.2%)
	Verify	447.904	362.306 (-19.1%)
Dilithium 3	KeyGen	740.820	566.839 (-23.4%)
	Sign	2.781.223	2.525.570 (-9.2%)
	Verify	705.726	556.641 (-21.1%)
Dilithium 5	KeyGen	1.144.005	842.012 (-26.4%)
	Sign	3.523.184	3.255.138 (-7.6%)
	Verify	1.173.812	899.562 (-23.3%)

# Otimizações de processamento - Dilithium

**Tabela 3. Mediana de ciclos de CPU para cada função do Dilithium**

Mediana de ciclos de CPU para o CRYSTALS-Dilithium			
Nível de segurança	Função	v.0	v.1 (variação %)
Dilithium 2	KeyGen	411.942	321.624 (-21.9%)
	Sign	1.490.671	1.279.631 (-14.2%)
	Verify	446.843	361.137 (-19.2%)
Dilithium 3	KeyGen		
	Sign		
	Verify		
Dilithium 5	KeyGen		
	Sign		
	Verify		

# Otimizações de processamento - Dilithium

**Tabela 3. Mediana de ciclos de CPU para cada função do Dilithium**

Mediana de ciclos de CPU para o CRYSTALS-Dilithium			
Nível de segurança	Função	v.0	v.1 (variação %)
Dilithium 2	KeyGen	411.942	321.624 (-21.9%)
	Sign	1.490.671	1.279.631 (-14.2%)
	Verify	446.843	361.137 (-19.2%)
Dilithium 3	KeyGen		
	Sign		
	Verify		
Dilithium 5	KeyGen		
	Sign		
	Verify		

# Otimizações de processamento - Dilithium

**Tabela 3. Mediana de ciclos de CPU para cada função do Dilithium**

Mediana de ciclos de CPU para o CRYSTALS-Dilithium			
Nível de segurança	Função	v.0	v.1 (variação %)
Dilithium 2	KeyGen	411.942	321.624 (-21.9%)
	Sign	1.490.671	1.279.631 (-14.2%)
	Verify	446.843	361.137 (-19.2%)
Dilithium 3	KeyGen	724.807	562.345 (-22.4%)
	Sign	2.230.749	2.080.019 (-6.8%)
	Verify	704.122	553.911 (-21.3%)
Dilithium 5	KeyGen	1.119.261	836.480 (-25.3%)
	Sign	3.026.118	2.665.533 (-11.9%)
	Verify	1.168.728	897.902 (-23.2%)

# Conclusões

## & PERSPECTIVAS DE TRABALHOS FUTUROS

- Redução significativa no número de ciclos de CPU para todos os níveis de segurança do Dilithium.
  - Sem comprometer a segurança e integridade do algoritmo.
- Buscar possíveis compromissos entre velocidade de processamento e espaço de memória utilizado.
  - Avaliar a implementação do algoritmo para dispositivos restritos.
  - Aplicar a otimização obtida neste trabalho para outros algoritmos pós-quânticos que façam uso do SHAKE.

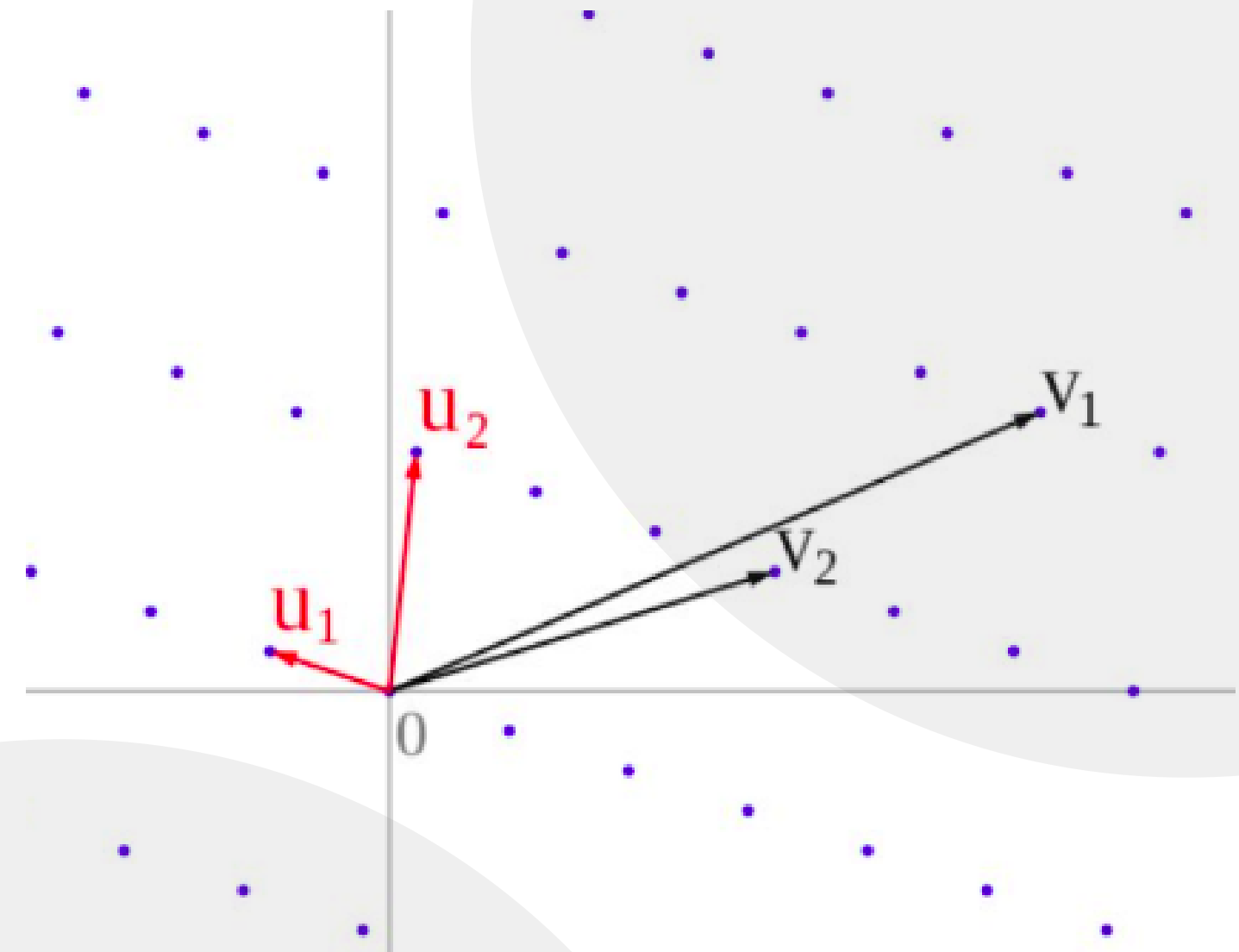
# OBRIGADO!

**Rodrigo de Meneses**  
**FEEC – Unicamp**

 [rodrigoduarte@protonmail.com](mailto:rodrigoduarte@protonmail.com)

# O que são reticulados?

- Os reticulados são estruturas algébricas que consistem em um conjunto  $S$  de pontos em um espaço  $n$ -dimensional.
- Os pontos são gerados a partir de uma base de vetores contida em  $S$ .
- A criptografia baseada em reticulados utiliza de problemas matemáticos baseados nessas estruturas.



# Pseudocódigo simplificado

## KeyGen()

$$\mathbf{A} \leftarrow R^{n \times m}$$

$$\mathbf{s}_1 \leftarrow R^m, \mathbf{s}_2 \leftarrow R^n$$

$$\mathbf{t} = \mathbf{A}\mathbf{s}_1 + \mathbf{s}_2$$

$$p_k = (\mathbf{A}, \mathbf{t}), s_k = (\mathbf{s}_1, \mathbf{s}_2)$$

## Verify( $\mu, \sigma, p_k$ )

$$\tilde{c} = H[\text{High}(\mathbf{A}\mathbf{z} - c\mathbf{t}), \mu]$$

If  $c = \tilde{c}$  and  $|z|$  is small, accept

## Sign( $p_k, s_k, \mu$ )

$$\mathbf{y} \leftarrow R^m$$

$$\mathbf{w} = \mathbf{A}\mathbf{y}$$

$$c = H[\text{High}(\mathbf{w}), \mu]$$

$$\mathbf{z} = c\mathbf{s}_1 + \mathbf{y}$$

$$\text{RejectionSample}(p_k, s_k, \mathbf{z})$$

$$\sigma = (\mathbf{z}, c)$$